

مطالعه اثرات بیولوژیکی مشتقات جدید H4-کروممن ۳-کربونیتریل بر رشد رده سلول سرطان پستان انسانی T47D در حالت In vitro

زهرا صفاری^۱، حسن آریاپور^۲، علیرضا فرومدی^۳، عظیم اکبرزاده^۴

اکارشناس ارشد، دانشگاه آزاد اسلامی، واحد علوم تحقیقات کردستان، گروه بیوشیمی، کردستان، ایران.

استادیار، گروه زیست شناسی، دانشکده علوم پایه، دانشگاه گلستان، گرگان، ایران.

استاد، دانشکده داروسازی و مرکز تحقیقات علوم دارویی دانشگاه علوم پزشکی تهران، تهران، ایران.

استاد، بخش پایلوت نانو بیوتکنولوژی، انتستیتو پاستور، تهران، ایران.

چکیده

سابقه و هدف: سرطان یک مسئله با اهمیت در طب امروزی است و شایع ترین علت مرگ و میر بعد از بیماری‌های قلبی عروقی میباشد. در این میان سرطان سینه یکی از شایع‌ترین علل مرگ ناشی از سرطان در بین زنان است به طوری که ۱/۵٪ از کل مرگ و میرها را تشکیل میدهد. لذا داروهای شبیه‌درمانی که هدفشان از یک جهت جلوگیری از تکثیر بی رویه سلولها در بافت‌های مشخصی از اندام بدن و از طرف دیگر القاء آپوپتوزیس در سلولهای توموری است از کاندیداهای مهم در درمان سرطان محسوب می‌شوند. ترکیبات سنتزی مورد استفاده، مشتقات H4-کروممن ۳-کربونیتریل هستند که این ترکیبات بر روی سلولهای سرطانی مقاوم شده به داروهای دیگر چون Paclitaxel مؤثرند. این ترکیبات با توجه به نقش القاکنندگی آپوپتوزیس می‌توانند به عنوان عوامل درمانی جدید ضد سرطانی استفاده شوند. بدین ترتیب اثر سیتوتوکسیسیته و القاء آپوپتوزیس ترکیبات سنتزی H4-کروممن ۳-کربونیتریل بررسی گردید.

مواد و روش‌ها: اثر سیتوتوکسیسیته سلولی ترکیبات سنتزی H4-کروممن ۳-کربونیتریل با روش MTT بر روی رده سلولی سرطان سینه (T47D) بررسی گردید. در نهایت برای ارزیابی اثر ترکیبات بر روی فرآیند آپوپتوزیس، از روش‌های رنگ آمیزی با آکریدین اورنج-اتیدیوم بروماید و رنگ هوخست ۳۳۲۵۸، بوسیله میکروسکوپ فلوروسنت و روش قطعه قطعه شدن DNA با روش دی فنیل آمین استفاده شد.

یافته‌ها: نتایج این بررسی نشان داد که مشتقات سنتز شده‌ای که دارای دو گروه شیمیایی NH_2 یا حاوی گروه OH در حلقه بنزنی خود بودند، اثر سیتوتوکسیسیته سلولی بهتری از خود نشان دادند و اثر القاء آپوپتوزیس با بهترین نمونه مورد بررسی قرار گرفت.

نتیجه گیری: جایه جایی گروه شیمیایی NO_2 روی حلقة تیول و قرار دادن گروه‌های شیمیایی مختلف روی حلقة بنزنی H4-کروممن ۳-کربونیتریل باعث تغییر اثر سیتوتوکسیسیته ترکیبات گشته و بدین ترتیب مشتق سنتز شده‌ای که حاوی دو گروه شیمیایی NH_2 میباشد اثر سیتوتوکسیسیته شدیدتری داشته و برای بررسی اثر القاء آپوپتوزیس ناشی از ترکیبات فوق از این ترکیب استفاده گردید که نتایج مطلوبی را نشان داد.

کلمات کلیدی: مشتقات H4-کروممن ۳-کربونیتریل، رده سلولی T47D، آپوپتوزیس، سرطان سینه

مقدمه

سرطان زمانی شروع می‌شود که سلولها در ژنهای کنترل کننده رشد دچار جهش می‌شوند. در حالت‌های طبیعی سلول اگر دچار جهش جبران ناپذیر شود، خودش را می‌کشد ولی اگر نتواند خود را بکشد، این سلولها و یا اولاد و دودمان آنها ممکن است به شکل غیر قابل کنترل شدهای با اطلاعات ژنتیکی غلط تقسیم شوند (۲). سرطان سینه در کل جهان پنجمین علت مرگ ناشی از سرطان بعد از سرطان ریه، معده، کبد و کولون است. سرطان

امروزه سرطان دومین عامل مرگ و میر انسانها در جوامع بشری است. اگر دسته‌ای از سلول‌ها به علت عدم توانایی در حذف خودشان دچار تکثیر بی رویه شوند، سرطان ایجاد می‌شود.

آدرس نویسنده مسئول: تهران، انتستیتو پاستور ایران، بخش پایلوت نانو بیوتکنولوژی

Email: azimakbarzadeh1326@gmail.com

تاریخ دریافت مقاله: ۹۱/۱۲/۰۱

تاریخ پذیرش: ۹۲/۲/۹

سنتر مشتقات مختلف کرومین صورت گرفته است (۸،۱۰). آپوپتوزیس^۱ یا مرگ برنامه ریزی شده سلولی یک پروسه تنظیم شده نرمال خودکشی سلولی است که موجود زنده را قادر میسازد تا تعداد سلولهای خود را حفظ کرده و سلو لهای ناخواسته را که بقاء موجود را تهدید میکند حذف نماید. تعادل درست بین آپوپتوزیس و مهار آپوپتوزیس در حفظ هموستان بافت و مورفوژنز اندام نقش مهمی دارد (۸،۱۶). در طی انجام آپوپتوزیس تغییرات بیوشیمیایی و سیتوولوژیکی خاصی در سلول اتفاق میافتد که شامل متراکم سازی نوکلئوپلاسم و سیتوپلاسم، قطعه قطعه شدن DNA و تشکیل اجسام آپوپتوزی متصل به غشا میباشد که توسط سلولهای مجاور شناخته شده و حذف میگردد (۹،۱۸).

هر گونه اشتباه در این پروسه باعث به وجود آمدن حالت های پاتولوژیک میشود. از جمله انحراف از مسیر آپوپتوز باعث گسترش تومور و متاستاز شده و القاء آپوپتوز باعث ایجاد بیماری های تحلیل اعصاب مثل الزایمر میگردد (۱۷،۱۹).

لذا در این مطالعه اثر سیوتوكسیسیته و القاء آپوپتوزیس مشتقاتی از ^۴H-کرومین-۳-کربونیتریل که در آزمایشگاه شیمی داروئی دانشکده داروسازی و مرکز تحقیقات علوم دارویی دانشگاه علوم پزشکی تهران سنتر شده‌اند، مورد بررسی قرار داده شد.

مواد و روش ها

الف: تهییه ترکیبات

بخش تهییه و سنتر مشتقات کرومین در دانشکده داروسازی دانشگاه علوم پزشکی تهران، آزمایشگاه دکتر فرمودی انجام شده است (۷) فام آیوباک و ساختار آنالوگ ترکیبات مورد استفاده در این تحقیق در جدول ۱ آورده شده است.

ب: رده سلولی و نحوه کشت سلولی

رده سلولی بهکار برده شده در این مطالعه جهت ارزیابی اثرات سیوتوكسیسیته مشتقات جدید کرومین - سلول T_{47D} با مشخصات Human ductal breast epithelial tumor cell (NCBI C₂₀₃) line میباشد، که از بانک سلولی ایران (NCBI) خریداری شد. سلولها در محیط کشت RPMI-۱۶۴۰ با ۱۰٪ سرم جنین گاوی (FBS) و ۱۰۰ واحد در میلیلیتر استرپتو ماکسین (برای جلوگیری از رشد باکتریهای گرم منفی) و ۱۰۰ واحد در میلی لیتر پنی سیلین (برای جلوگیری از رشد باکتری-

سینه بیماری چند عاملی و پیچیده‌ای است که فاکتورهای زننده و محیطی زیادی در آن دخالت دارند. به هر عاملی که احتمال ابتلا به یک بیماری نظیر سرطان را افزایش دهد عامل خطر گویند. این عوامل خطر شامل سن، جنس، سابقه خانوادگی، چاقی، رژیم غذایی، نژاد، سن یائسگی، مصرف سیگار و الكل می باشند. با وجودی که عوامل خطر متعددی در بروز سرطان سینه شناخته و معروفی شده‌اند، ولی علت شناسی دقیق و قطعی آن هنوز مشخص نیست (۱،۲۲). راه‌های درمانی سرطان شامل جراحی، رادیو درمانی، شیمیدرمانی و هورموندرمانی و درمانهای زیستی می باشد (۴). اگر چه داروهای مورد استفاده در شیمی درمانی در حال حاضر یکی از مؤثرترین روش‌ها برای درمان سرطان میباشد ولی اثرات سمیت شیمی درمانی سبب ایجاد اثرات جانبی میگردد. از جمله این اثرات، آسیب رساندن به بافت های کبد و کلیه، سرکوب سیستم ایمنی، استفراغ، ریزش مو، کم خونی و بیماریهای گوارشی میباشد. بنابراین آسیب بافت‌های طبیعی توسط داروهای ضد توموری یکی از مهمترین محدودیت‌ها برای افراد مبتلا به سرطان میباشد (۱۳،۲۳). پیدایش سلول‌های توموری مقاوم به داروهای مرسوم شیمیدرمانی، استفاده از داروهای جدیدتری را موجب میگردد. بنزو پیرانها (کرومین-ها) از خانواده فلاونوئیدها گروهی از ترکیبات طبیعی هستند که فعالیتهای بیولوژیکی متعددی دارند که شامل خواص آنتی توموری، اثرات ضد لیشمانيایی و ضد باکتریایی است. این اثرات موجب شده که این ترکیبات جهت مشتق سازی و غربالگری به عنوان عوامل جدید درمانی مورد توجه قرار گیرند (۱۴،۲۰) این ترکیبات با مهار تکثیر سلولی و برهمکنش با جایگاه کلشی سین در توبولین B باعث مهار پلیمریزاسیون میکروتوبولها گشته که منجر به توقف سیکل سلولی و در نهایت آپوپتوزیس می‌گردد. این ترکیبات بر علیه برخی سلولهایی که مقاومت دارویی نشان میدهند مؤثر بوده و میتوانند در درمان بیماران سرطانی که مقاوم به عوامل آنتی توموری مثل تاکسانها هستند مفید باشند (۶). چون هنوز مکانیسم عمل این ترکیبات به طور کامل گزارش نشده است لذا مطالعات بیشتری بر روی مکانیسم و اثرات این ترکیبات به منظور یافتن ترکیبات ضد سرطان قویتر ضروری میباشد. با توجه به اینکه خاصیت ضد سرطانی این ترکیبات از طریق القاء آپوپتوزیس به اثبات رسیده تلاش برای

های گرم مثبت) کشت و پاساز داده شدند. جهت جدا نمودن سلولها از کف فلاسک از محلول تریپسین-EDTA استفاده شد. شمارش سلول با هموسایتومتر انجام گردید. در تمامی تستها ابتدا درصد سلولهای زنده با رنگ تریپان بلو تعیین گردید که همواره بالای ۹۰٪ بود.

جدول ۱: نام آیوپاک و ساختار آنالوگ های H₄-کروم-۳-کربونیتریل

Compounds	IUPAC	Molecular formula	Molecular weigh	Structure
1	3-amino-9-dimethylamino-5-(5-nitro-thiophen-2-yl)-2-oxa-bicyclo [4.4.0]deca-1(10),3,6,8-tetraene-4-carbonitrile	C ₁₆ H ₁₄ N ₄ O ₃ S	342.37	
2	3,9-diamino-5-(5-nitro-thiophen-2-yl)-2-oxa-bicyclo[4.4.0]deca-1(10),3,6,8-tetraene-4-carbonitrile	C ₁₄ H ₁₀ N ₄ O ₃ S	314.32	
3	3-amino-9-hydroxy-5-(5-nitro-thiophen-2-yl)-2-oxa-bicyclo[4.4.0]deca-1(10),3,6,8-tetraene-4-carbonitrile	C ₁₄ H ₉ N ₃ O ₄ S	315.30	
4	3,9,10-triamino-5-(5-nitro-thiophen-2-yl)-2-oxa-bicyclo[4.4.0]deca-1(10),3,6,8-tetraene-4-carbonitrile	C ₁₄ H ₉ N ₃ O ₄ S	329.33	
5	3-amino-9-dimethylamino-5-(4-nitro-thiophen-2-yl)-2-oxa-bicyclo[4.4.0]deca-1(10),3,6,8-tetraene-4-carbonitrile	C ₁₄ H ₁₀ N ₄ O ₃ S	342.37	
6	3,9-diamino-5-(4-nitro-thiophen-2-yl)-2-oxa-bicyclo[4.4.0]deca-1(10),3,6,8-tetraene-4-carbonitrile	C ₁₄ H ₁₀ N ₄ O ₃ S	314.32	

عنوان کنترل استفاده شد. پلیت به مدت ۴۸ ساعت در شرایط فوق انکوبه شدند. پس از پایان انکو باسیون ۱۰۰ میکرولیتر از محلول MTT (۵ میلی گرم در ۱۰ میلی لیتر PBS) به تمامی چاهک ها افزوده شده و پلیت به مدت ۳ ساعت دیگر انکوبه گردید. در پایان پس از تخلیه آرام محیط کشت، کریستالهای رنگ فورمازان راسب شده در سیتوپلاسم سلولها با افزودن ۱۰۰ میکرولیتر ایزوپروپانول به هر چاهک حل شد. شدت رنگ با دستگاه الایزا در طول موج ۵۴۰ نانو متر ثبت گردید. IC_{۵۰} (غلظتی از هر مشتق داروئی که ۵۰ درصد رشد سلول را نسبت به کشت کنترل کاهش دهد) بدست آمده از آزمون Pharm-PCS statistical package MTT و با کمک نرم افزار (Springer-Verlag, New York) محاسبه گردید.

ج: ارزیابی سیتوتوکسیسیته سلولی مشتقات کرومین جهت سنجش اثر سیتوتوکسیسیته سلولی مشتقات کرومین از روش MTT assay استفاده شد. ابتدا ترکیبات کرومین در حل DMSO حل و نگهداری شدند. غلظت نهایی DMSO در محیط کشت در تمامی آزمونها ۱/۰ درصد بود. در این مطالعه از کشتهای سلولی در فاز رشد و تکثیر استفاده گردید. ابتدا صد میکرولیتر از سوسپانسیون سلولی معادل ده هزار سلول در محیط کشت کامل به چاهکهای پلیت های ۹۶ حفره ای ریخته شد. پس از ۲۴ ساعت انکوباسیونها در شرایط ۳۷ درجه سانتی گراد و اتمسفر ۰.۵٪ CO_۲، ۱۰۰ میکرولیتر محیط کشت کامل حاوی رقت های هر یک از مشتقات کرومین (۱-۶۵۰ میکرومولار) به چاهکها اضافه شد. هر رقت مشتقات دارویی در سه چاهک سنجش شد. سه چاهک دارای سلول و محیط کشت کامل به

۳- قطعه قطعه شدن DNA

برای تعیین درصد قطعه قطعه شده از روش دی فنیل آمین استفاده گردید. ابتدا ۵ میلی لیتر سوسپانسیون سلولی معادل بیست هزار سلول در هر فلاسک کشت سلولی به مدت ۲۴ ساعت انکوبه شد. بعد از تیمار نمودن سلولها با غلظت معادل IC₅₀ بدست آمده از ترکیب ۴ به مدت ۲۴ ساعت، سلولها را از کف فلاسک جمع‌آوری و به ویال منتقل و سانتریفوژ (۲۰۰ g) به مدت ۱۰ دقیقه در دمای ۴ درجه سانتی گراد گردید. محلول رویی دور ریخته شد و ۰/۵ میلی لیتر بافر لیز سلولی (تریس باز + EDTA + تریتون X-۱۰۰) به رسوب سلولی اضافه و ورتكس گردید. با سانتریفوژ مجدد DNA قطعه قطعه شده از کروماتین دست نخورده جدا گردید. محلول رویی از رسوب جدا و در لوله A ریخته شد. ۰/۵ میلی لیتر از بافر لیز سلولی به رسوب اضافه گردید. (لوله B) ۰/۵ میلیلیتر تری کلرو استیک اسید (۰/۲۵٪) به لوله A و B اضافه شد و پس از چند ثانیه ورتكس یک شب در دمای ۴ درجه سانتی گراد گذاشته شد. بعد از گذشت زمان DNA رسوب کرده و با سانتریفوژ جدا گردید. محلول رویی هر دو لوله A و B با دقت دور ریخته شد و ۸۰ میکرولیتر تری کلرو استیک اسید (۰/۵٪) به آنها اضافه گردید. در دو ویال تمیز به عنوان شاهد نیز ۸۰ میکرولیتر تری کلرو استیک اسید (۰/۵٪) ریخته شد. به منظور هیدرولیز DNA به مدت ۲۰ دقیقه نمونه ها در دمای ۸۳ درجه سانتی گراد حرارت داده شدند و سپس ۱۶۰ میکرولیتر معرف دی فنیل آمین تازه به آنها اضافه و ورتكس گردید. نمونه ها یک شب در دمای آزمایشگاه قرار داده شدند. در پایان جذب به کمک دستگاه الایزا و در طول موج ۶۰۰ نانومتر ثبت شد و درصد DNA قطعه قطعه شده از طریق رابطه زیر محاسبه گردید.

$$\text{درصد قطعه قطعه شدن DNA} = \frac{A \text{ تیپ OD}}{B \text{ تیپ OD} + A \text{ تیپ OD}} \times 100$$

یافته ها

نتایج بررسی اثرات سیتو توکسیک مشتقات H₄-کروم-۳-کربونیتریل فوق در شکل ۱ نشان میدهند که با افزایش دوز داروها از ۱ به ۶۵۰ میکرومولار در ۴۸ ساعت توانایی زنده بودن سلولها نسبت به حالت کنترل شدیداً کاهش می یابد. همه ترکیبات دارای اثرات سیتو توکسیک با IC₅₀ کمتر از ۲۰۰

۵: بررسی القاء آپوپتوزیس

برای بررسی اثر القاء آپوپتوزیس قویترین ترکیب (ترکیب ۴) انتخاب شد، و به وسیله رنگهای فلوئورسنس (۳، ۲۴) و روش قطعه قطعه شدن DNA (۵) مقدار آپوپتوزیس سنجش گردید.

۱- رنگ آمیزی هو خست ۳۳۲۵۸

در ابتدا دو و نیم میلی لیتر سوسپانسیون سلولی معادل ده هزار سلول در هر خانه پلیت ۶ حفره ای به مدت ۲۴ ساعت انکوبه شد. سپس محیط کشت آنها تخلیه و سلولها با محیط کشت کامل حاوی رقت معادل IC₅₀ از ترکیب ۴ به مدت ۲۴ ساعت انکوبه شدند و پس از پایان انکوباسیون مراحل زیر انجام گردید: لایه سلولی بعد از تخلیه کامل محیط کشت با PBS شستشو داده شد و پس از آن با پارافرمالدئید چهار مراحل زیر انجام گردید: دقیقه فیکس گردید. با خارج کردن پارافرمالدئید و شستشو با PBS، لایه سلولی با محلول رقیق شده رنگ هو خست ۳۳۲۵۸ (۱ میلی گرم رنگ در ۱ میلی لیتر آب دو بار تقطیر) پوشانده شد. بعد از ۱۵ دقیقه انکوباسیون در مکان تاریک، رنگ خارج و لایه سلولی با PBS شستشو داده شد و در نهایت با میکروسکوپ فلوئورسنت بررسی و عکس برداری گردید.

۲- رنگ آمیزی آکریدین اورنج-اتیدیوم بروماید

در ابتدا ۵ میلی لیتر سوسپانسیون سلولی معادل بیست هزار سلول در هر فلاسک کشت سلولی به مدت ۲۴ ساعت انکوبه شد. سپس محیط کشت آنها تخلیه و سلولها با محیط کشت کامل حاوی رقت معادل IC₅₀ از ترکیب ۴ به مدت ۲۴ ساعت انکوبه شدند و پس از پایان انکوباسیون مراحل زیر انجام گردید: لایه سلولی بعد از تخلیه کامل محیط کشت تریپسینه شد و بعد از برداشت کامل سلولها سانتریفوژ گردید (۲۰۰ g به مدت ۳ دقیقه). سپس سوپرناتانت را خارج و سلولها با بافر PBS رقیق شد. سوسپانسیون سلولی با محلول رنگ آمیزی (نسبت حجمی ۱:۱ از هر کدام از رنگها) مخلوط و به مدت ۵ دقیقه انکوبه گردید. نمونه بر روی لام گذاشته شد و در نهایت با میکروسکوپ فلورسنت مورد عکس برداری و بررسی قرار گرفت، البته برای تعیین درصد سلولهای آپوپتوزیس شده، ۴۰۰-۵۰۰ سلول شمارش شد.

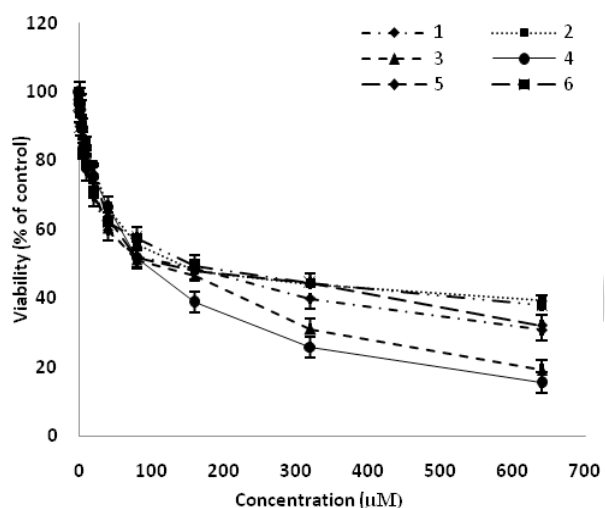
کنترل درصد کم قطعه قطعه شدن را مشاهده کرده که می-تواند ناشی از خطا در مراحل آزمایش باشد در حالیکه در نمونه تیمار شده با ترکیب ۴ درصد قطعه قطعه شدن DNA به میزان ۳۴٪ T_{47D} (نتیجه القاء آپوپتوزیس)، مشهود می باشد.

- جدول ۲: مقایسه قدرت فعالیت بیولوژیکی مشتقات ۴H - کرومون ۳- کربونیتریل بر روی رده سلولی سرطان پستان

In vitro T_{47D} در انسانی

Compounds	T _{47D} IC ₅₀ (μ M)±SE
۱	۱۰۷/۶۴±۸/۵
۲	۱۸۱/۲۶±۱۸/۴
۳	۸۹/۳۳±۵/۳
۴	۸۱/۴۲±۶/۱
۵	۱۲۳/۹۳±۷/۷
۶	۱۵۸/۹۳±۱۱/۶

داده ها حاصل تکرار سه بار آزمایش است. p≤۰.۰۵



شکل ۱: تاثیر ترکیبات ۶-۱ بر روی مهار رشد سلولهای T_{47D}. سلولها با دوزهای مختلفی از ترکیبات سنتزی برای مدت زمان ۴۸ ساعت تیمار شدند. هر آزمایش سه مرتبه تکرار شد. p≤۰.۰۵

میکرومولار می باشند. با توجه به نتایج حاصل از شکل ۱، و محاسبه مقادیر IC₅₀ میتوان قدرت نسبی ترکیبات را مقایسه کرد. مطابق جدول ۲ میزان IC₅₀ ترکیب ۲ ۱۸۱/۲۶ میکرومولار گزارش شده است و لذا ضعیف ترین ترکیب مورد بررسی بوده است. ترکیبات ۳ و ۴ اثرات قویتری داشتهاند بطوریکه IC₅₀ معادل آنها به ترتیب ۸۹/۳۳ و ۸۱/۴۲ میکرومولار بوده است. ترکیب ۴ به عنوان قویترین ترکیب جهت مطالعات بعدی و بررسی اثر القاء آپوپتوزیس مورد استفاده قرار گرفت. نتایج بررسی اثر القاء آپوپتوزیس این مشتقات در تصاویر حاصل از میکروسکوپ فلورسنت در اشکال ۲ و ۳ و قطعه قطعه شدن DNA در جدول ۲ نشان داده شده است.

تصاویر A (نمونه کنترل منفی) بدون اضافه نمودن ترکیب به محیط کشت سلولی و تصاویر B نشاندهنده اثر القاء آپوپتوزیس ترکیب ۴ در محیط کشت سلولی T_{47D} است.

شکل ۲ نتایج حاصل از رنگ آمیزی هوخست ۳۳۲۵۸ را نشان میدهد. در رنگ آمیزی با هوخست ۳۳۲۵۸ سلولهای نرمال به صورت آبی یکنواخت دیده میشوند، در حالیکه هسته سلولهای آپوپتوزیس شده، به واسطه متراکم شدن کروماتین و قطعه قطعه شدن هسته به طور غیر منظم و به صورت نقاط آبی درخشن دیده میشوند. رنگ هوخست ترجیحاً به نواحی غنی از A-T ملکول DNA متصل میشود پس همانطور که گفته شد رنگ آبی یکدست در نمونه کنترل منفی دیده میشود، در حالیکه هسته سلولهای آپوپتوز شده ناشی از تیمار با ترکیب ۴، به واسطه متراکم شدن کروماتین و قطعه قطعه شدن هسته به طور غیر منظم و به صورت نقاط آبی درخشن دیده میباشدند.

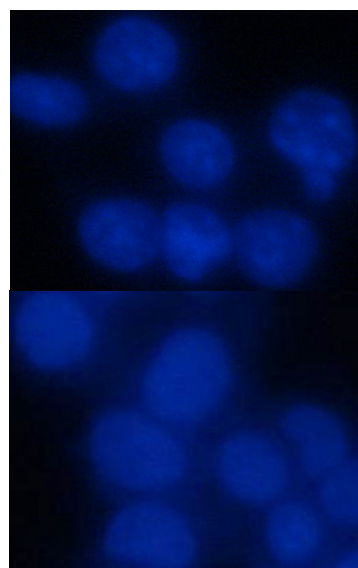
شکل ۳ نتایج حاصل از رنگ آمیزی آکریدین اورنج- اتیدیوم بروماید را نشان میدهد. سلولهای زنده در اثر رنگ آکریدین اورنج(AO) رنگ سبز یکنواخت گرفته و سلولهایی که مردهاند رنگ اتیدیوم بروماید(EtBr) را از خود عبور داده و بدین ترتیب رنگ نارنجی را به خود گرفتهاند.

یکی از شاخصهای شناخته شده سلولهای آپوپتویک قطعه قطعه شدن DNA به الیگونوکلئوزومها میباشد، در طی آپوپتوز سلولی، آنزیمهای اندونوکلئازی فعال شده و باعث تخریب DNA سلولی میگردد، که در مراحل آخر آپوپتوز روی میدهد. جدول ۳ نتایج حاصل از روش دی فنیل آمین را نشان میدهد. در نمونه

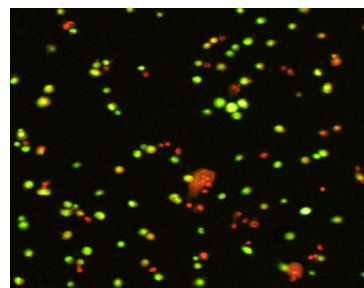
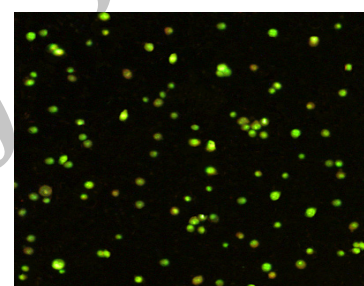
بحث

سرطان بیماری است که در آن سلول های بدن بطور غیر عادی تقسیم و تکثیر شده و به بافت های سالم منتشر می شوند. بیشتر عوامل ضد سرطانی اثرات درمانی خودشان را با القای آپوپتوزیس اعمال می کنند. آپوپتوزیس یک مرحله متابولیکی مهم در تنظیم تعداد سلولها و رشد آنهاست. اگر آپوپتوزیس متوقف شود، متابولیسم مختل شده و تومور شکل گرفته و رشد می کند. القاء آپوپتوزیس یکی از مهم ترین روشها در از بین بردن بدون عارضه سلول های سرطانی است (۱۱). در این تحقیق اثرات سیتو توکسیک و القاء آپوپتوزیس مشتقاتی از ترکیبات کروم مسنتز شده مورد بررسی قرار داده شد. طبق مطالعات انجام یافته مشتقات دیگر این ترکیبات از طریق تداخل در تشکیل توبولین و یا ممانعت در پلیمراز سیعون توبولین باعث القاء آپوپتوز در سلول های توموری می گردند (۶). لذا از آزمون MTT برای بررسی میزان حیات سلول و سنجش سمیت ترکیبات استفاده شد که در تحقیقات مشابه نیز این آزمون به عنوان یکی از پر کاربرد ترین روش های سنجش میزان بقاء سلولی بوده است (۲۱). اثر القاء آپوپتوز از طریق رنگ آمیزی DNA سلول با رنگ های آکریدین اورنج-اتیدیوم بروماید و رنگ هو خست ۳۳۲۵۸ و قطعه قطعه شدن DNA با روش دی فنیل آمین پی گیری شد (۳، ۵، ۲۴) رده سلولی T_{47D} که از نوع سلول های اپیتلیالی چسبنده و دارای P₅₃ جهش یافته است، مورد استفاده قرار گرفت (۱۲) بر اساس نتایج بدست آمده از بررسی اثرات سیتو توکسیک، ترکیبات H₄-کروم-۳-کربونیتریل که در رده سلولی T_{47D} در جدول ۱ مشاهده شد، تفاوت در نتایج به دلیل اختلاف در ساختار و وجود گروه های عاملی متفاوت در این ترکیبات، بارز گردید (۷). (جدول ۱) هر دو ترکیب از ۶ ترکیب دارای یک گروه یکسان و یک گروه عاملی متفاوت هستند که منجر به تفاوت در نتیجه تأثیر آنها بر روی سلولها گشته است.

تفاوت ترکیبات ۳ و ۴ در گروه R متصل به حلقه بنزنی است که نتایج نشان میدهد داشتن دو گروه NH_۲ در ترکیب ۴ تأثیر بسزایی در میزان اثر سیتو توکسیک داشته است و بعد از آن ترکیب ۳ که دارای گروه OH می باشد بهترین نتیجه را نشان داده است. ترکیبات ۱ و ۵ در رده بعدی قرار گرفته اند. هر دو دارای گروه N(CH_۳)_۲ متصل به حلقه بنزنی هستند و تفاوت آنها



شکل ۲: تغییرات مرغولوژیکی القاء شده در هسته سلول های T_{47D} در حضور A: عدم حضور ترکیب ۴، که با هو خست ۳۳۲۵۸ رنگ آمیزی شده اند. B: نمونه تیمار شده (بزرگنمایی ۴۰)



شکل ۳: تصویر میکروسکوپ فلئورسنت از سلول های T_{47D} رنگ آمیزی شده با رنگ اتیدیوم بروماید-آکریدین اورنج. A: نمونه کنترل B: نمونه تیمار شده با ترکیب ۴ (بزرگنمایی ۵)

جدول ۲: مقایسه درصد قطعه قطعه شدن DNA سلول های T_{47D} تیمار شده با ترکیب ۴ و نمونه کنترل

Compounds	%DNA fragmentation
Control	1.1
Compound 4	34.3

سپاسگزاری

بدین وسیله از همکاران بخش پایلوت نانوبیوتکنولوژی انسستیتو پاستور ایران سرکار خانم مریم فرحنانک ضرابی، آفایان سهیل قاسمی، علی فرهنگی، محسن چیانی، حسن ابراهیمی که در انجام این تحقیق ما را یاری نمودند و از سرکار خانم نجمه جعفری از دانشکده داروسازی و مرکز تحقیقات علوم دارویی دانشگاه علوم پزشکی تهران، که سنتر این ترکیبات را انجام دادند، قدردانی میگردد.

در موقعیت گروه NO_x متصل به حلقه تیولی است. در ترکیب ۱ گروه NO_x در حلقه تیولی در موقعیت ۵ و در ترکیب ۵ در موقعیت ۴ قرار داشته، لذا گروه NO_x موجود در موقعیت ۵ نسبت به موقعیت ۴ نتیجه بهتری را نشان داد. IC_6 ترکیبات ۲ و ۶ بالاتر از ۱۵۰ میکرومولار شد که نتیجه ضعیفتری را نسبت به بقیه ترکیبات دارا بودند و اما از نظر موقعیت گروههای عاملی آنها، هر دو دارای گروه NH_x متصل به حلقه بنزنی هستند و تفاوت آنها در موقعیت گروه NO_x متصل به حلقه تیولی است. در ترکیب ۲ گروه NO_x در موقعیت ۵ و در ترکیب ۶ در موقعیت ۴ قرار داشته که گروه NO_x موجود در موقعیت ۴ نسبت به موقعیت ۵ نتیجه بهتری را نشان داد. با توجه به اطلاعات بدست آمده، وجود دو گروه شیمیایی NH_x بر روی حلقه بنزنی ترکیب پایه باعث افزایش اثر سیتوکسیک ترکیب شده است و گروه $\text{OH}, \text{N}(\text{CH}_3)_2$ نیز به ترتیب در رده بعدی قرار داشته‌اند. در حالیکه وجود یک گروه NH_x باعث کاهش اثر ترکیبات گردیده است. نتایج بدست آمده از این ترکیبات نسبت به داروی سیس پلاتین که در حال حاضر به عنوان داروی شیمی درمانی مصرف میگردد- مقایسه گردید، IC_6 ترکیبات نسبت به سیس پلاتین بیشتر بوده و لذا باید از تکنیکهایی در جهت بهبود نتایج استفاده کرد.

در نهایت برای تأیید القا آپوپتوزیس ترکیبات، از ترکیب ۴ استفاده شد که نتایج بدست آمده از رنگ آمیزیهای هوخت ۳۳۲۵۸ و آکریدین اورنج-اتیدیوم بروماید تأییدی بر القاء آپوپتوز توسط ترکیب مورد نظر بوده است. (شکل ۲ و ۳)

اما درصد قطعه قطعه شدن DNA را نیز در رده سلولی مورد نظر شاهد بودیم. علت این امر کاهش بیان $\text{BCI}-2$ در رده سلولی $\text{T}47\text{D}$ میباشد و از آنجائیکه بین بیان این فاکتور و آزادسازی سیتوکروم C ارتباط معکوس وجود دارد پس میتوان گفت با بیان پایین $\text{BCI}-2$ در رده سلولی $\text{T}47\text{D}$ سیتوکروم C بیشتری آزاد گردیده (سیتوکروم C یک فاکتور ضروری برای شروع آپوپتوزیس است) که این باعث تشکیل آپوپتوزوم و در نتیجه باعث فعال شدن کاسپاز ۹ و ۳ و در نهایت قطعه قطعه شدن DNA شده است. در نتیجه همه این عوامل باعث القای آپوپتوزیس در این رده میگردد(۱۵،۲۵).

منابع

1. Armstrong K, Eisen A, Weber B. Assessing the risk of breast cancer. *N Engl J Med*, 2000; 342 (8):564-71.
2. Blagosklonny MV. A node between proliferation, apoptosis and growth arrest. *Bioessays*, 1999; 21 (8):704-9.
3. Byung KC, Chang HC, Hyun LO, Yong KK. Role of ERK activation in cisplatin-induced apoptosis in A172 human glioma Cells. *NeuroToxicology*, 2004; 25:915–924.
4. Coley HM. Mechanisms and strategies to overcome chemotherapy resistance in metastatic breast cancer. *Cancer Treat Rev*, 2008; 34 (4):378-90.
5. Gibb RK, Gercel-Talor C. use of diphenylamine in the detection of apoptosis. *Methods Mol Med*, 2001; 39:679-80
6. Gordeau H, Leblond L, Hamelin B, Desputeau C, Dong K, Kianicka I, et al. Antivascular and antitumor evaluation of 2-amino-4-(3-bromo-4-5-dimethoxyphenyl)-3-cyano-4H-chromenes, a novel series of anticancer agents. *Mol Cancer Ther*, 2004; 3 (11):1375-1383.
7. Jafari N. 1390. synthesis of novel 2-amino-3-cyano-4-(nitrothiophene)-benzopyran derivatives as potential anti cancer agents.
- Department of Medicinal Chemistry, Faculty of Pharmacy and Pharmaceutical Sciences Research Center, Tehran University of Medical Sciences. (Persian in text full)
8. Kemnitzer W, Drewe J, Jiang S, Zhang H, Wang Y, Zhao J, et al. Discovery of 4-aryl-4H-chromenes as a new series of apoptosis inducers using a cell- and caspase-based high-throughput screening assay. 1. Structure-activity relationships of the 4-aryl group. *J Med Chem*, 2004; 47 (25):6299-310.
9. Kemnitzer W, Kasibhatla S, Jiang S, Zhang H, Zhao J, Jia S, et al. Discovery of 4-aryl-4H-chromenes as a new series of apoptosis inducers using a cell- and caspase-based high through putscreening assay. 2. Structure-activity relationships of the 7- and 5-, 6-, 8-positions. *Bioorg Med Chem Lett*, 2005; 15 (21):4745-51.
10. Kemnitzer W, Drewe J, Jiang S, Zhang H, Zhao J, Crogan-Grundy C, et al. Discovery of 4-Aryl-4H-chromenes as a new series of Apoptosis Inducers using a cell- and caspase-based high-throughput screening assay. 3. Structure-activity relationships of fused rings at the 7, 8-positions. *J Med Chem*, 2007; 50 (12):2858-64.
11. Kerr JF, Winterford CM, Harmon BV. Apoptosis. Its significance in cancer and cancer therapy. *Cancer*, 1994; 73 (8):2013-26.
12. Lamp SJ, Findlay DM, Moseley JM, Martin TJ. Calcitonin induction of a persistent activated state of adenylylate cyclase in human breast cancer cells (T47D). *J Biol Chem*. 1981; 256 (23):12269-12274.
13. Larsen ME, Rowntree J, Young AM, Pearson S, Smith J, Gibson OJ, et al. Chemotherapy side-effect management using mobile phones. *Conf Proc IEEE Eng Med Biol Soc*, 2008; 5152-5.
14. Lee KY, Nam DH, Moon CS, Seo SH, Lee JY, Lee YS. Synthesis and anticancer activity of lavendustin A derivatives containing arylethenylchromone substituents. *Eur J Med Chem*, 2006; 41 (8): 991-6.
15. Mooney LM, Al-Sakkaf KA, Brown BL, Dobson PRM. Apoptotic mechanisms in T47D and MCF-7 human breast cancer cells. *Br J Cancer*, 2002; 87:909-17.
16. O'Driscoll L, Linehan R, Clynes M. Survivin: role in normal cells and in pathological conditions. *Curr Cancer Drug Targets*, 2003; 3 (2):131-52.
17. Reed JC. Dysregulation of apoptosis in cancer. *J Clin Oncol*, 1999; 17 (9):2941-53.
18. Reed JC, Tomaselli KJ. Drug discovery opportunities from apoptosis research. *Curr Opin Biotechnol*, 2000; 11 (6):586-92.
19. Robertson GS, Crocker SJ, Nicholson DW, Schulz JB. Neuroprotection by the inhibition of apoptosis. *Brain Pathol*, 2000; 10 (2):283-92.
20. Sairafianpour M, Kayser O, Christensen J, Asfa M, Witt M, Staerk D, et al. Leishmanicidal and antiplasmodial activity of constituents of *Smilnowia iranica*. *J Nat Prod*, 2002; 65 (12): 1754-8.
21. Scudiero DA, Shoemaker RH, Paull KD, Monks A, Tierney S, Nofziger TH, et al. Evaluation of a soluble tetrazolium/formazan assay for cell growth and drug sensitivity in culture using human and other tumor cell lines. *Cancer Res*, 1988; 48:4827-4833.
22. Singletary SE. Rating the risk factors for breast cancer. *Ann Surg*, 2003; 237 (4):474-82.
23. Wang J, Chen B, Chen J, Cai X, Xia G, Liu R, et al. Synthesis and antitumor efficacy of daunorubicin-loaded magnetic nanoparticles. *Int J Nanomedicine*, 2011; 6:203-11.
24. Wyllie AH, Kerr JF, Currie AR. Cell death: The significance of apoptosis. *INT Rev Cytol*, 1980; 68:251-306
25. Yang J, Liu X, Bhalla K, Kim CN, Ibrado AM, Cia J, et al. Prevention of apoptosis by Bcl-2: release of cytochrome C from mitochondria blocked. *Science*, 1997; 275 (5303):1129-32.